

ДИФФЕРЕНЦИАЛЬНЫЕ УРАВНЕНИЯ

И

ПРОЦЕССЫ УПРАВЛЕНИЯ

№ 4, 1998

Электронный журнал,
рег. № П23275 от 07.03.97

<http://www.neva.ru/journal>
e-mail: diff@osipenko.stu.neva.ru

управление в нелинейных системах

РОБАСТНОЕ КВАЗИЛОГИЧЕСКОЕ УПРАВЛЕНИЕ НЕЛИНЕЙНЫМИ МЕХАНИЧЕСКИМИ ОБЪЕКТАМИ: ЧИСЛЕННЫЕ РЕЗУЛЬТАТЫ

Т.В.Варядченко, А.А.Первозванский, Россия, 195251, Санкт-Петербург,
ул. Политехническая, д.29

С.-Петербургский государственный технический университет

Кафедра "Механика и процессы управления"

e-mail: control1@citadel.stu.neva.ru

Аннотация.

Рассматривается проблема управления нелинейными объектами при неполной информации о динамике системы. Предлагаются алгоритмы робастного квазилогического управления, для которых ранее одним из авторов установлены условия устойчивости замкнутой системы. В качестве примера рассмотрена задача управления простыми роботами и численно исследована возможность настройки управляющего параметра метода локальной аппроксимации такая, что значение желаемого показателя качества совпадения траекторий при идеальных управлениях и предлагаемых квазилогических управлениях может быть уменьшено при не слишком многоточечных сетках и для не слишком "легких" систем. Производится сравнение численных результатов с результатами, полученными для алгоритмов компенсационных управлений, реализованных на ИНС и ПД-регуляторов, демонстрирующее общие черты, различия и преимущества тех или других алгоритмов.

1. Робастное квазилогическое управление в задаче управления простым роботом

Пусть динамика управляемого объекта может быть адекватно описана уравнением:

$$\dot{x} = f(x) + g(x) \cdot u; \quad x \in R^n, \quad (1)$$

однако матрицы функции $f(x), g(x)$ не известны, а проектант располагает лишь информацией о величинах

$$f_s = f(x^s), \quad A_s = \left. \frac{\partial f}{\partial x} \right|_{x=x^s}, \quad B_s = g(x^s), \quad s = 1, \dots, N, \quad (2)$$

где $x^{(s)}$ – некоторые заданные точки в фазовом пространстве.

Иначе говоря, известны линеаризованные описания объекта в окрестности некоторых режимов $x - x^s$.

Введем в рассмотрение линейные системы

$$\dot{x} = A_s \cdot (x - x^s) + f_s + B_s \cdot u, \quad s = 1, \dots, N, \quad (3)$$

В предположении стабилизируемости пар A_s, B_s можно построить обратные связи вида:

$$u = u_s(x) = -K_s \cdot x, \quad (4)$$

такие, что матрицы $\bar{A}_s = A_s - B_s \cdot K_s$ являются гурвицевыми.

Тогда можно сконструировать логическое управление исходной системы (1) по схеме [5]:

$$u(x) = u_s(x), \quad \text{если } x \in X_s, \quad (5)$$

где произведено разбиение фазового пространства на области X_s такие, что каждая из них содержит соответствующую точку $x^{(s)}$.

Тем самым строится кусочно-линейное управление, заданное во всем пространстве, хотя сразу возникают проблемы доопределения поведения системы на границе областей X_s . Рассмотрим далее альтернативный вариант, который будем именовать квазилогическим управлением:

$$u(x) = \sum_s \mu_s(x) \cdot u_s(x), \quad (6)$$

где скалярные функции $\mu_s(x)$ таковы, что

$$\sum_s \mu_s(x) = 1, \quad \mu_s(x) \geq 0 \quad \text{для всех } x.$$

Таким образом, квазилогическое управление строится как выпуклая комбинация исходных правил.

Если $\mu_s(x)$ являются функциями-индикаторами областей X_s , то есть,

$$\mu_s(x) = 1, \text{ если } x \in X_s,$$

$$\mu_s(x) = 0, \text{ если } x \notin X_s,$$

то (6) сводится к логической схеме (5). Однако далее будем требовать, что $\mu_s(x)$ являются гладкими (дифференцируемыми) функциями, что обеспечивает основное свойство квазилогического управления — отсутствие переключений. С использованием (6) замкнутая система описывается уравнением

$$\dot{x} = f(x) + g(x) \cdot \sum_s \mu_s(x) \cdot u_s(x). \quad (7)$$

Условия, обеспечивающие устойчивость равновесия системы (7) приведены в [1].

Рассмотрим задачу управления простым роботом,двигающемся по радиусу r и поворачивающемся вокруг своей оси по углу ϕ . Простейшие уравнения его динамики имеют вид

$$m\ddot{r} - \frac{1}{2} \frac{\partial I}{\partial r} \dot{\phi}^2 = F_r \quad (8)$$

$$I(r)\ddot{\phi} + \frac{\partial I}{\partial r} \dot{r}\dot{\phi} = M_\phi \quad (9)$$

$$r(0) = r_0, \phi(0) = \phi_0, \dot{r}(0) = \dot{r}_0, \dot{\phi}(0) = \dot{\phi}_0,$$

где $I(r)$ -момент инерции, m -масса, F_r и M_ϕ - соответственно управляющая сила и момент, $r_0, \phi_0, \dot{r}_0, \dot{\phi}_0$ - начальные условия.

Построим компенсационное управление по моменту в виде [4]

$$M_\phi = I(r)v + \frac{\partial I}{\partial r} \dot{r}\dot{\phi} \quad (10)$$

$$v = -k_\phi(\phi - \phi^*) - k_{\dot{\phi}}(\dot{\phi} - \dot{\phi}^*) \quad (11),$$

где $\phi^*(t)$ и $\dot{\phi}^*(t)$ - желаемые траектории - цель управления.

Подставляя (10), (11) в (9), получим

$$\ddot{\phi} + k_\phi(\phi - \phi^*) + k_{\dot{\phi}}(\dot{\phi} - \dot{\phi}^*) = 0 \quad (12)$$

Полагая $\phi^* = const$, получим уравнение, определяющее траекторию $\phi(t)$ при управлении (10),(11) при переходе к желаемому положению равновесия ϕ^* .

$$\ddot{\phi} + k_{\dot{\phi}}\dot{\phi} + k_{\phi}\phi = k_{\phi}\phi^* \quad (12)$$

Аналогично построим компенсационное управление по силе в виде

$$F_r = -p_r(r - r^*) - p_{\dot{r}}(\dot{r} - \dot{r}^*) - \frac{1}{2} \frac{\partial I}{\partial r} \dot{\phi}^2 \quad (13)$$

где $r^*(t)$ и $\dot{r}^*(t)$ - желаемые траектории. Подставляя (13) в (8), получим

$$m\ddot{r} + p_r(r - r^*) + p_{\dot{r}}(\dot{r} - \dot{r}^*) = 0 \quad (14)$$

Полагая $r^* = const$, получим уравнение, определяющее траекторию $r(t)$ при управлении (10), (11) при переходе к желаемому положению равновесия

$$\ddot{r} + \frac{p_{\dot{r}}}{m}\dot{r} + \frac{p_r}{m}r = \frac{p_r}{m}r^* \quad (15)$$

Скажем теперь, что уравнения (12),(15) определяют траекторию $r(t), \phi(t)$ при "идеальном управлении"(10),(11),(13), и в противовес "идеальному" управлению определим робастное квазилогическое управление, выполняя (1)-(7) для системы (8)-(9).

Для определенности положим в (9)

$$I(r) = I_0 + kr^2 \quad (16)$$

Получим следующие формулы для робастного квазилогического управления простым роботом

$$\begin{aligned} F_r &= \left(-p_r + \frac{\sum_s \rho_s k \epsilon^{s^2}}{\sum_s \rho_s} \right) r - p_{\dot{r}} \kappa - \frac{\sum_s \rho_s 2kr^s \epsilon^s}{\sum_s \rho_s} \epsilon \\ M_{\phi} &= \frac{\sum_s \rho_s 2k(I_0 - kr^{s^2}) / (I_0 + kr^{s^2})}{\sum_s \rho_s} r - k_{\phi} \frac{\sum_s \rho_s (I_0 + kr^{s^2})}{\sum_s \rho_s} \phi + \\ &+ \frac{\sum_s \rho_s 2kr^s \epsilon^s}{\sum_s \rho_s} \kappa + \left(-k_{\dot{\phi}} \frac{\sum_s \rho_s (I_0 + kr^{s^2})}{\sum_s \rho_s} + \frac{\sum_s \rho_s 2kr^s \kappa^s}{\sum_s \rho_s} \right) \epsilon \end{aligned}$$

Контрольное моделирование системы с предлагаемым алгоритмом управления производилось путем интегрирования системы уравнений

$$\begin{aligned} \dot{r} &= \kappa \\ \dot{\phi} &= \epsilon \\ \dot{\kappa} &= \frac{kr}{m} \epsilon^2 + \frac{1}{m} (-p_r r - p_{\dot{r}} \kappa) - \frac{1}{m} \frac{\sum_s \rho_s k \epsilon^{s^2}}{\sum_s \rho_s} r - \frac{1}{m} \frac{\sum_s \rho_s 2kr^s \epsilon^s}{\sum_s \rho_s} \epsilon \\ \dot{\epsilon} &= -\frac{2kr\kappa\epsilon}{I_0 + kr^2} + \frac{1}{I_0 + kr^2} \left\{ \frac{\sum_s \rho_s (I_0 + kr^{s^2})}{\sum_s \rho_s} (-k_{\phi} \phi - k_{\dot{\phi}} \epsilon) \right. \\ &+ \left. \frac{\sum_s \rho_s 2k(I_0 - kr^{s^2}) / (I_0 + kr^{s^2})}{\sum_s \rho_s} r + \frac{\sum_s \rho_s 2kr^s \epsilon^s}{\sum_s \rho_s} \kappa + \frac{\sum_s \rho_s 2kr^s \kappa^s}{\sum_s \rho_s} \epsilon \right\} \end{aligned} \quad (17)$$

при заданных начальных условиях и функциях

$$\rho_s = \rho_s(u) = \exp \left\{ -\frac{\|u - u_s\|^2}{\delta^2} \right\},$$

δ – параметр локальности [3], $r^s, \kappa^s, \epsilon^s$ – значения на заранее заданной сетке.

Заметим, что множитель

$$\frac{\sum_s \rho_s (I_0 + kr^{s2})}{\sum_s \rho_s},$$

в соотношении для управления M_ϕ определяет оценку момента инерции $I(r)$ для алгоритмов реализации по методу локальной аппроксимации (МЛА) компенсационных управлений [2]. Напомним, что в этом случае управления определяются соотношениями

$$\begin{aligned} F_r &= -p_r r - p_{\dot{r}} \kappa - \Delta \hat{F}_r \\ M_\phi &= -\hat{I}(r)(k_\phi \phi + k_{\dot{\phi}} \epsilon) + \Delta \hat{M}_\phi, \end{aligned}$$

которые для конкретного представления момента инерции (9) имеют вид

$$\begin{aligned} F_r &= -p_r r - p_{\dot{r}} \kappa - \frac{\sum_s \rho_s k r^s \epsilon^{s2}}{\sum_s \rho_s} \\ M_\phi &= -\frac{\sum_s (I_0 + kr^{s2})}{\sum_s \rho_s} (k_\phi \phi + k_{\dot{\phi}} \epsilon) + \frac{\sum_s \rho_s 2kr^s \kappa^s \epsilon^s}{\sum_s \rho_s} \end{aligned}$$

Формула (15) и формула, следующая за (20), приведенные в [2], касаются случая, когда момент инерции не оценивается по МЛА. Как видно, если момент инерции оценивается по МЛА, слагаемые, содержащие множители k_ϕ и $k_{\dot{\phi}}$ в управлении M_ϕ для алгоритмов робастного квазилогического управления и компенсационного управления совпадают. Всегда одинаковы слагаемые, содержащие множители p_r и $p_{\dot{r}}$. Заметим также, что робастное квазилогическое управление представляет по существу специально подобранный ПД-регулятор. Компенсационное управление ПД-регулятором в целом не является. (В формуле, следующей за формулой (20) работы [2] имеется неточность: вместо $I_{ср}$ следует читать $I_0 + kr^2$).

2. Численные результаты

На следующих трех рисунках приведены зависимости от времени для радиуса r , радиальной скорости $\dot{r} = \kappa$, угловой скорости $\dot{\phi} = \epsilon$ и угла ϕ при указанном значении параметра k , определяющего зависимость от радиуса момента инерции $I(r) = I_0 + kr^2$. Одно решение соответствует "идеальному" управлению и легко узнаваемо, второе – робастному квазилогическому управлению. Все прочие условия, кроме значения k одинаковы, именно, начальные условия: $r(0) = 1, \dot{r}(0) = 0, \dot{\phi}(0) = 0, \phi(0) = 1; I_0 = 1, m = 1, k_\phi = 1, k_{\dot{\phi}} = 2.5, p_r = 1, p_{\dot{r}} = 2.5$. Желаемое положение равновесия $r^* = 0, \phi^* = 0$ – нулевое. Интервал интегрирования 13 сек., шаг интегрирования 0.1 сек. Число точек сетки $10 \times 10 \times 10 \times 10^1$, параметр локальности $\delta = 0.05$. При значении параметра $k = 0.1$ кривые, соответствующие квазилогическому и "идеальному" управлению совпадают. На последнем четвертом рисунке приведены для сравнения результаты, полученные ранее для алгоритма реализации компенсационного управления в нейробазисе в случае, когда момент инерции $I(r)$ по МЛА не оценивался (кривая (3)) и для ПД-регулятора (кривая (2)) [2]. Здесь все условия те же, но значение параметра $k = 100$. (Отличие только в положении равновесия $r^* = 0.5, \phi^* = 0.5$).

3. Выводы

Квазилогическое управление обеспечивает сходимость к положению равновесия и малое отличие переходного процесса от процесса при "идеальном" управлении для не "тяжелых" систем и при адекватно начальным условиям выбранных сетках. Число точек сетки может быть небольшим.² Для "тяжелых" систем ($k \geq 20$) нет сходимости (за выбранное число шагов), которая кстати наблюдалась для алгоритмов компенсационных управлений, реализованных в нейробазисе (по МЛА), но только при известной динамике системы и для ПД-регуляторов также при известном моменте инерции $I(r)$. Дело в том, что квазилогические алгоритмы не используют сведения о динамике системы.

Как показали многочисленные дополнительные эксперименты в случае необходимости оценивания по МЛА момента инерции в компенсационных

¹Сетка случайная, по равномерному закону с захватом "идеальной" траектории.

²Значение параметра δ должно обеспечивать значение $\rho_s(u) \neq 0 > \rho^* > 0$.

алгоритмах не удается в процессе настройки в несколько раз снизить значение интегрального показателя качества совпадения переходного процесса с "идеальной" траекторией. Для "тяжелых" систем удается достигнуть лишь незначительного снижения.

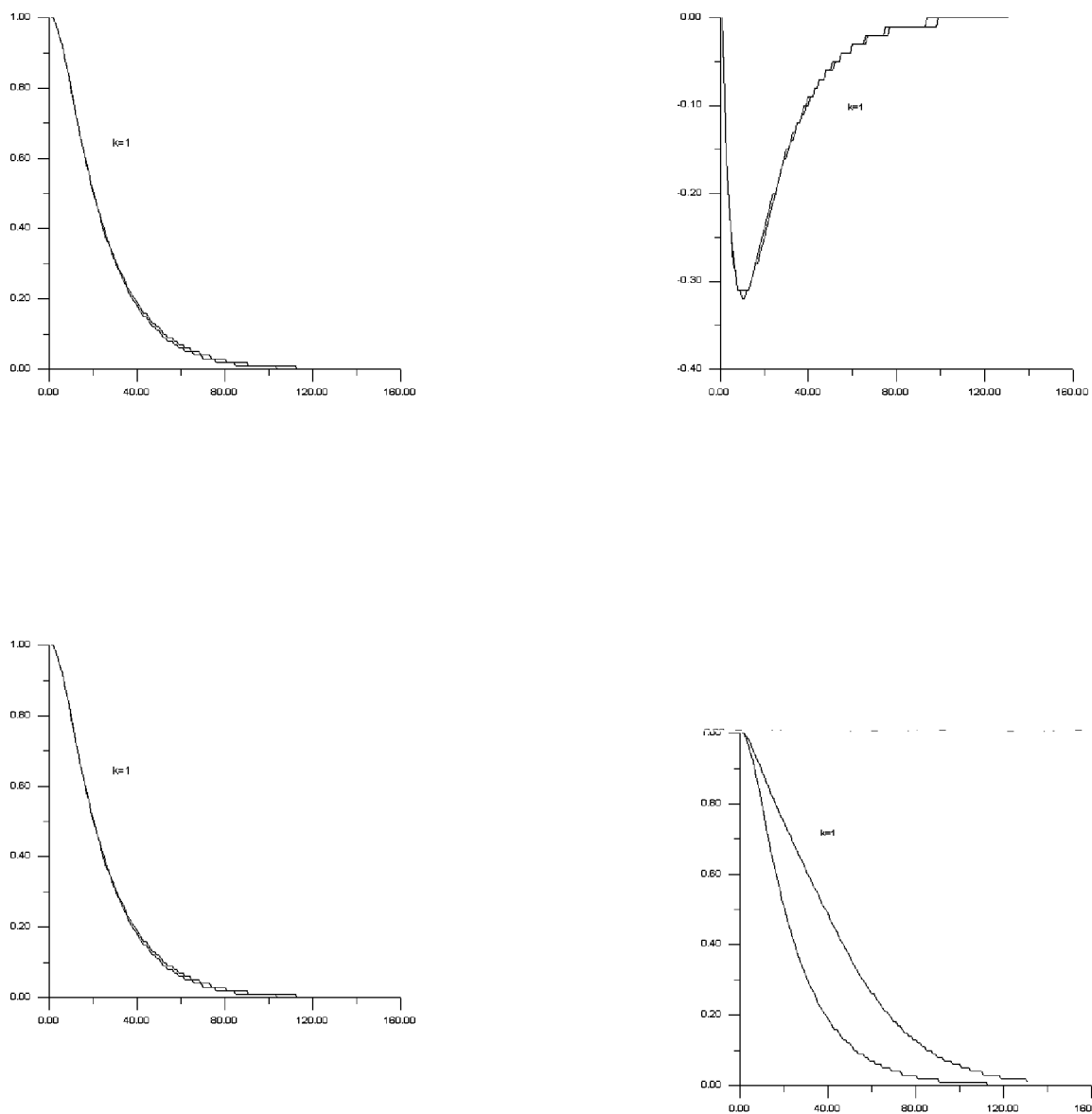


Рис.1

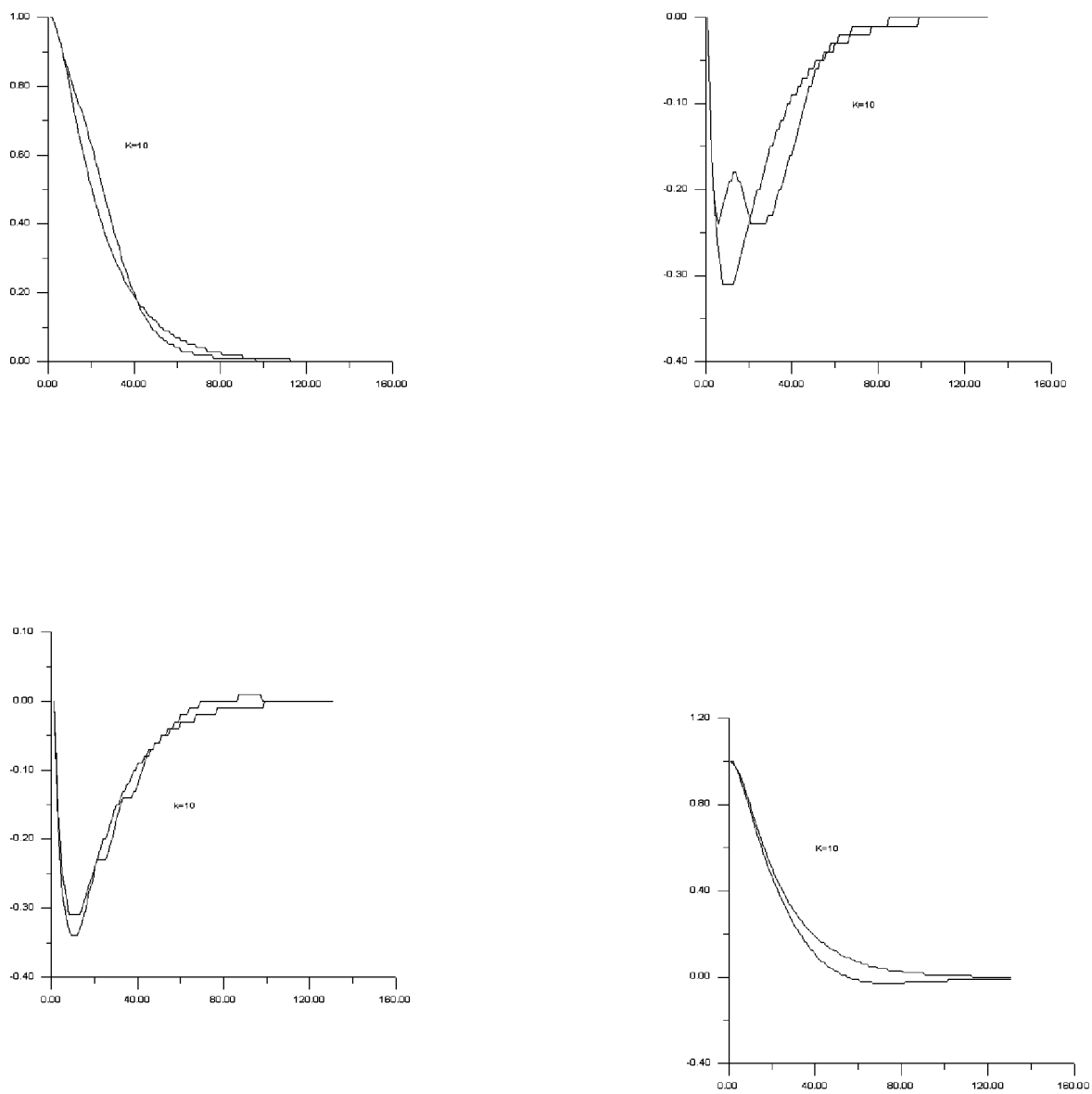


Рис.2

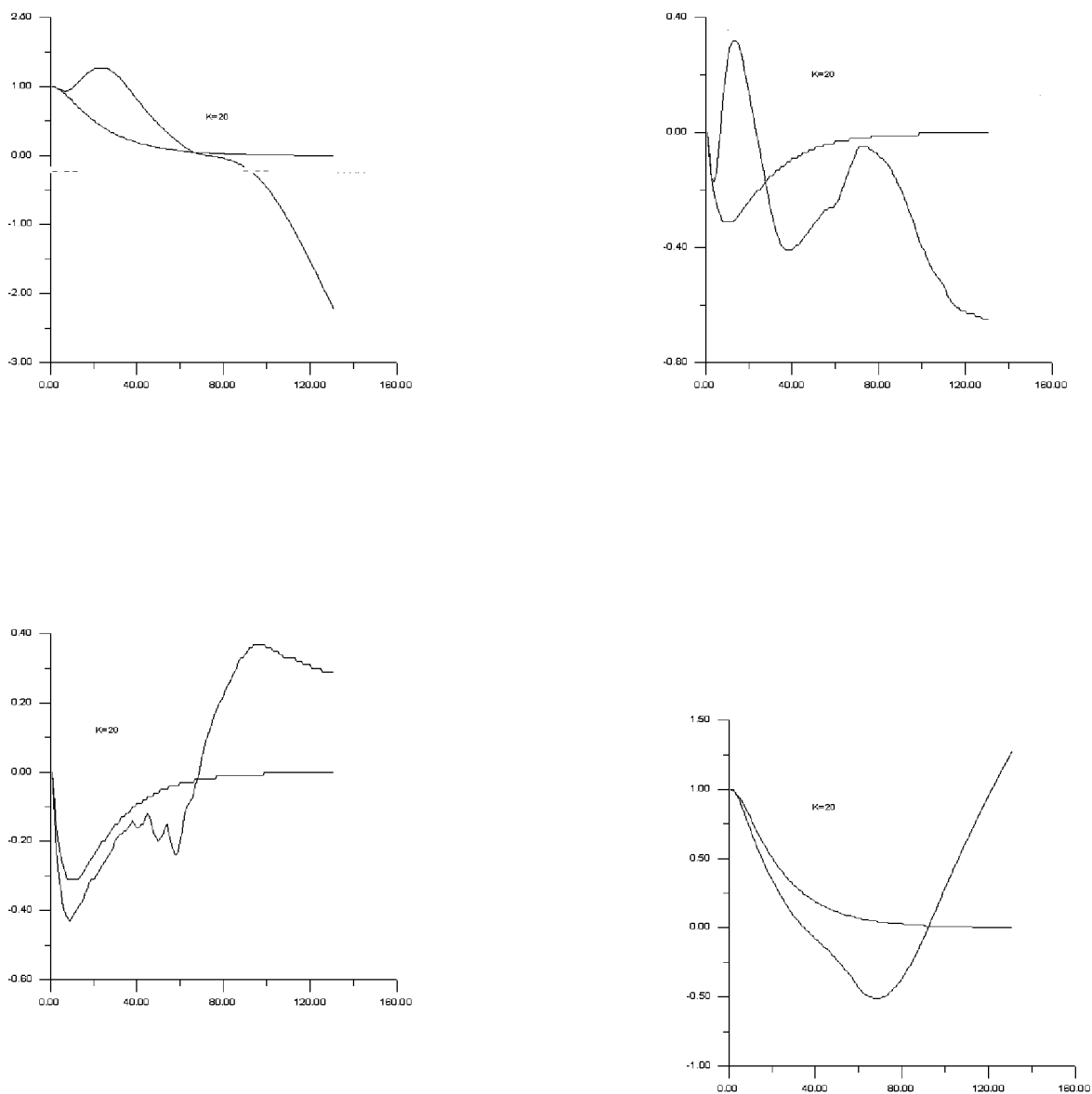


Рис.3

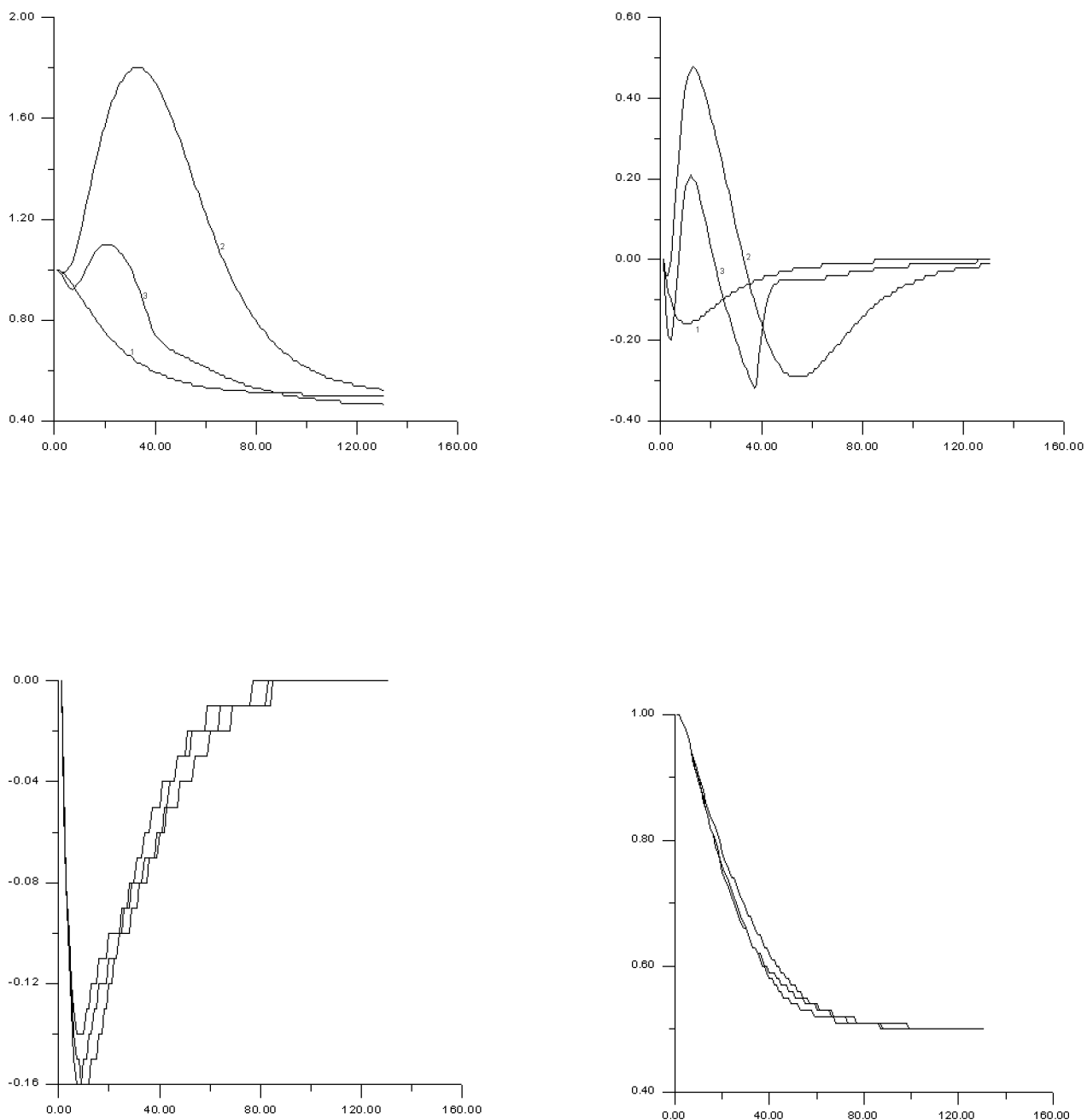


Рис.4

Литература

- [1] *Первозванский А. А.* Робастное квазилогическое управление нелинейными объектами// 1998, Теория и системы управления, принято к печати.
- [2] *Первозванский А. А., Варядченко Т.В.* Алгоритмы реализации компенсационных управлений на искусственных нейросетях// Эл. журнал "Дифф. уравнения и процессы управления", N1,1998г.
<http://www.neva.ru/journal/rus/r-vol-1.htm>.
- [3] *Катковник В. Я.* Непараметрическая идентификация и сглаживание данных: метод локальной аппроксимации. М.: Наука, 1985.
- [4] *Первозванский А. А.* Курс теории управления. М.: Наука, 1986.
- [5] *Tanaka K., Takayuki L., Wang H.O.* Robust stabilization of a class of uncertain nonlinear systems via fuzzy control quadratic stabilizability, H^∞ -control theory and linear matrix inequalities// IEEE Tr. Fuzzy Syst. V.4, N1, p.1-13.